





Comune di Oristano

"INTERVENTI DI MESSA IN SICUREZZA, CONSOLIDAMENTO STRUTTURALE DEI SOLAI ED EFFICIENTAMENTO NELLA SCUOLA PRIMARIA DI VIA SOLFERINO" CUP H14I19000160001



PROGETTISTA:



Engineering & Architecture

Ing, Gianmarco Monis

STUDIO DI INGEGNERIA - PROGETTAZIONE E CONSULENZA

ING. GIANMARCO MANIS

VIA GOBETTI, 6 - 09036 GUSPINI (VS)

TELEFOND: 3471183763
FAX: 1782720889
EMAIL: ING.MANIS@GMAIL.COM
PEC: GIANMARCO.MANIS@INGPEC.EU

Ing. Gianmarco Manis



CENTRALE UNICA DI COMMITTENZA:

Comune di Oristano

Settore Lavori Pubblici e Manutenzioni Piazza E. d'Arborea, 44 - 09170 Oristano Tel 0783 7911 - Fax 0783 791229 istituzionale@pec.comune.oristano.it RESPONSABILE UNICO DEL PROCEDIMENTO: Ing. Stefano Lochi

PROGETTO DEFINITIVO-ESECUTIVO

(D.Lgs 50/2016, art. 23)

03			TITOLO TAVOLA:	TAVOLA N°:	
02			DELATIONE MODELLATIONE CICMIOS	AII. 1.5	
01			RELAZIONE MODELLAZIONE SISMICA	AII. I.U	
NUM.	INTEGRAZIONE	DATA			
DATA: 05.05.2022		ARCHIVIO FILE: / archivio progetti / Ing. Gianmarco Manis/ F024_Comune di Oristano		SCALA RAPPRESENTAZIONE:	
		ARCHIVIO PR	OGETTO: Progetti /Comune di Oristano /PD-PE	Proprietà riservata - L. 633 del 22/04/41	



COMUNE DI ORISTANO

"INTERVENTI DI MESSA IN SICUREZZA, CONSOLIDAMENTO STRUTTURALE DEI SOLAI ED EFFICIENTAMENTO NELLA SCUOLA PRIMARIA DI VIA SOLFERINO"- CUP H14119000160001

Progetto definitivo-esecutivo

1	DETERMINAZIONE DELL'AZIONE SISMICA	2
	DETERMINATIONE DELEATIONE 313/4110A	_





Progetto definitivo-esecutivo

1. DETERMINAZIONE DELL'AZIONE SISMICA

La determinazione dell'azione sismica viene fatta con riferimento ai Capitoli 2 e 3 delle NTC2018 e dei corrispettivi capitoli di approfondimento della Circolare n.7. Le azioni sismiche sulle costruzioni esistenti si valuteranno come quelle di nuova costruzione in relazione al periodo di ritorno T_R espresso in anni; noto il periodo di ritorno dell'azione sismica, le forme spettrali previste dalle NTC2018 sono definite, in funzione dei tre parametri riportati nella tabella seguente. Si considerano, per l'edificio in esame, una Classe d'Uso III, con coefficiente d'uso corrispondente pari a $c_U = 1.5$, nonché una vita nominale V_R pari a 50[anni]; entrambi i fattori precedenti conducono alla determinazione di un periodo di riferimento V_R pari a 75[anni].

Stato Limite	$T_R[anni]$	$a_g[g]$	F_0	$T_{C}^{*}[s]$
SLO	45	0.022	2.657513	0.2911025
SLV	712	0.055	2.935865	0.3576567

Tali valori sono calcolati su suolo rigido (Categoria A) e superficie orizzontale, dovendo subire ulteriori modifiche per le particolari condizioni topografiche e di sottosuolo del sito in esame. La struttura analizzata sorge su suolo di categoria E: "terreni con caratteristiche e valori di velocità equivalente riconducibili a quelle definite per le categorie C o D, con profondità del substrato non superiore a 30 m".

Per quanto riguarda le caratteristiche della superficie topografica, esse ricadono nella categoria T1: "superfici pianeggianti, pendii e rilievi isolati con inclinazione media $i \leq 15^{\circ}$ ".

E'possibile a questo punto determinare i parametri amplificativi geomorfologici:

SLO				
Parametri indipendenti	Tipologia amplificazione	Valore		
Ss	Stratigrafica	1.600		
J_S	Terreno categoria E	1.000		
C_C	Stratigrafica	1.638		







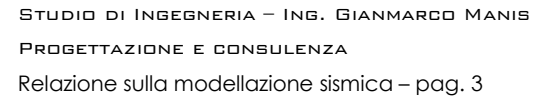
Progetto definitivo-esecutivo

	Terreno categoria E		
S_T	Topografica		
J_T	Categoria T1	1.000	
	SLV		
Parametri indipendenti	Tipologia amplificazione	Valore	
S_S	Stratigrafica	1.600	
<i>S</i> ç	Terreno categoria E	1.000	
C_C	Stratigrafica	1.508	
c_c	Terreno categoria E	1.500	
S_T	Topografica	1.000	
J.T	Categoria T1	1.000	

Per quanto riguarda i parametri dipendenti dall'amplificazione stratigrafica e topografica del sito, necessari alla valutazione dell'accelerazione spettrale $S_e(T)$, sono riassunti nelle tabelle seguenti.

SLO			
Parametri dipendenti	Simbolo	Espressione	Valore
Coeff. Amplificazione topografico e stratigrafico	S	$S_S \cdot S_T$	1.600
Smorzamento viscoso	ξ	/	5.00%
Fattore di smorzamento	η	$\sqrt{10/(5+\xi)}$	1.000
Periodo inizio tratto a velocità costante nello spettro	$T_C[s]$	$T_C^* \cdot C_C$	0,548
Periodo inizio tratto ad accelerazione costante nello spettro	$T_B[s]$	$T_C/3$	0,183
Periodo inizio tratto a spostamento costante nello spettro	$T_D[s]$	$4.0 \cdot \frac{a_g}{g} + 1.6$	1,689

SLV			
Parametri dipendenti	Simbolo	Espressione	Valore
Coeff. Amplificazione topografico e stratigrafico	S	$S_S \cdot S_T$	1.600
Smorzamento viscoso	ξ	/	5.00%
Fattore di smorzamento	η	$\sqrt{10/(5+\xi)}$	1.000
Periodo inizio tratto a velocità costante nello spettro	$T_C[s]$	$T_C^* \cdot C_C$	0,620









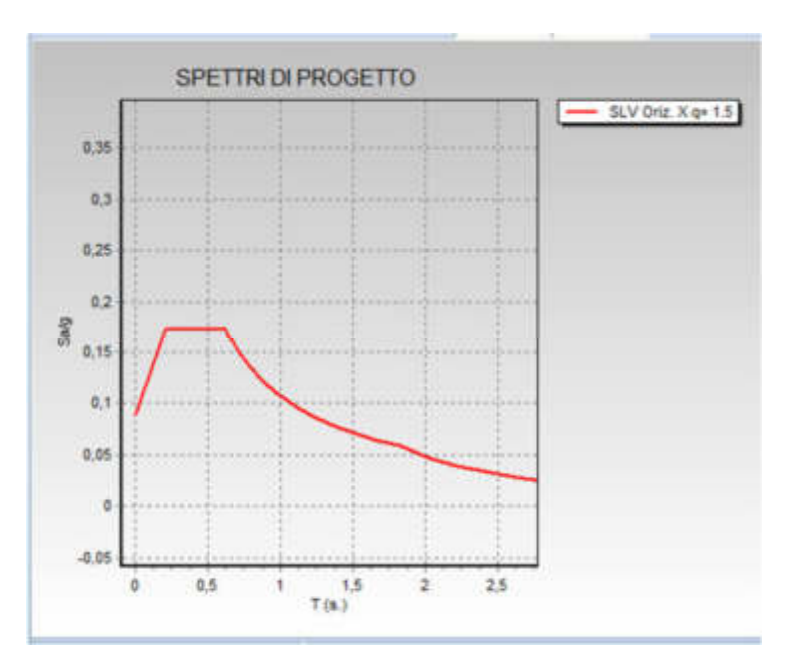
Progetto definitivo-esecutivo

Periodo inizio tratto ad accelerazione costante nello spettro	$T_B[s]$	$T_C/3$	0.207
Periodo inizio tratto a spostamento costante nello spettro	$T_D[s]$	$4.0 \cdot \frac{a_g}{g} + 1.6$	1.822

E'ora possibile ricavare gli spettri di risposta elastici in accelerazione delle componenti orizzontali. Nota l'accelerazione spettrale orizzontale $S_e(T)$ si può poi ricavare lo spettro in spostamento, ricordando che:

$$S_{De}(T) = S_e(T) \cdot \left(\frac{T}{2\pi}\right)^2$$

Nelle figure seguenti, vengono riportati i grafici relativi agli spettri elastici in accelerazione per le componenti orizzontali allo SLV ed allo SLO.

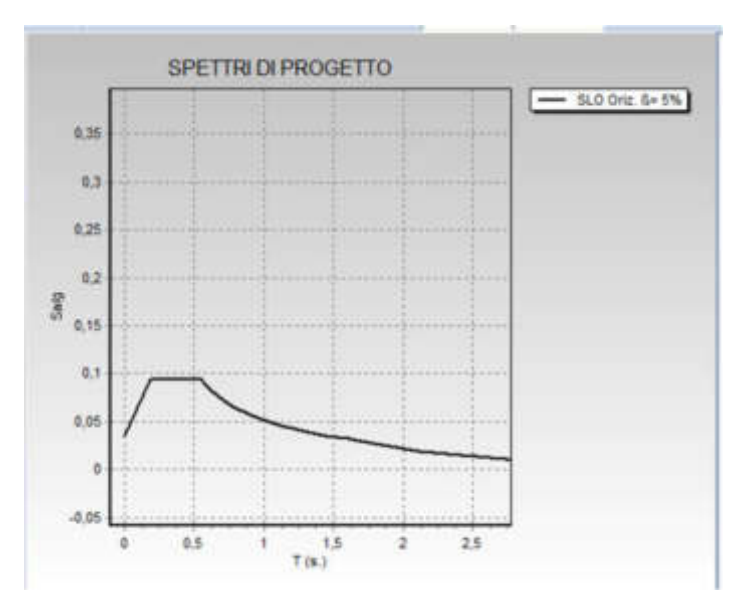


Spettro di risposta elastico in accelerazione allo SLV





Progetto definitivo-esecutivo



Spettro di risposta elastico in accelerazione allo SLO

